

909

Kontaktverz.

Vorname	1	2	3	4	5	6
Frischöl	Brüxteer getm. -350°	Schwalteer Schlesien	Teermischung St.K. Hochtemp. teer + Teerölf u. P1416get +P1214get	Kokereitern & Vil'gor		
	P 1397	P 1376			P 1094	
% Festes	3,3	1,0	7,4			8,
% Asche i.P.	24,2	1.0-0,5	4,6			6,
% -525°	2,7	9	1,7			9,
% Asphalt	9,8	21	17,6			22,
verarbeitet auf	B1 + N'01	Schweröl- Überschuss	Schweröl- Übersch.	100% B1+N'01	Schwer	
Kontakt	Grude-Mo	Grude akt.-Fe	Grude- Fe-Ti	Grude-Fe alkal.	Grude-Mo	Grude-Fe T
% Frischöl	0,5	0,5	1,0	2,0	2,5	1,5
Fr.'01/Abstr.B'01	75:25	75:25	1:0	100:0	60:40	Sch.'01
Fr.'01/Abschl.	1:0,5	1:0,5	1:0,5	1:0,2	1:0-3	74:26 80:17,81 740,1
Temperatur °C	470	470	474	480	482	475
% Abbau v. Festen	97	93	50	86	95	98
% Abbau v. Asphalt	100	95	99	95	99	98
Leistung (prakt. Olgew.)	0,52	0,49	0,62	0,53	0,32	0,51
Vergasung / prakt. Olgew. + Verg. Abschl. m. Schwellg.	12,5	13,2	10	10,9	20	13
% v. Frischöl	6-7	6,4-7,4	7	17,7	24	Sch. N. ab schl.
Im Abschl. f. -350° % Asphalt	26-350° 0,4	26-350° 0,6	20 3	16,5 5,5	30 1	20 5
Verschmelzung im Olgewissen	gut	gut	gut	gut	gut	gut

909 X

	7	8	9	10	11	12	13	14	15
	Lokarsiteet (Ruhr)					Teer-Pechmischung Pöllitz Pech+Generator-teeer + Teeröl u.			
27	1024		P 1416			P 1408 + P 1404 + P 1214 get.			
	114		11			14,0		13,0	
	15,0		ca 4			5,3		6,0	
	0,0		ca 0,3			8 - 12		9,0	
	7,0		26,7			15 - 19		19,2	
	Schwerölüberschuss		Schwerölüberschuss		Si + V'51	Schwerölüberschuss	Schweröl- Klasseholz		
	Grude-Po-Ti	Grude-Po-Grude-Mo	Grude-Mo	Grude-Po-Ti	Grude-Po-Ti+C1	Grude-Pe alkyl	Grude-Pe-Ti	Grude-Pe-alkyl	Grude-Po-Ti
5	15	1,5	1,5	1,0	1,5	1,5+0,8	2,0	2,0	2,0
140	600-101	1:10	1:10	1:10	1:10	1:10	65,35	75,25	80,20
0,1	74725	110,5	110,5	110,5	110,5	110,5	110,5	110,5	110,5
	Basis								
2	472	479	477	478	476	478	481	483	474
	86	97	100	92	78	95	86	82,8	84,7
	98	98	99	99	95	98	97	96,5	97,6
0,21	0,58	0,59	0,48	0,45	0,49	0,27	0,38	0,38	0,44
13	13,5	12,4	14	15	14	19,5	13,7	15,2	17
Schl. KH+ abschl.	12	7	10	24	12	17	18	19,5	13
9	20	25	25	18	18	25,0	23,2	25,6	16
5	5	3	3	6	4	4,2	3,7	4,0	3
Mittel	mittel	gut	'gut'	nicht möglich	gut	gut	gut	gut	mittel

TITLE PAGE

44. Zur Verarbeitung von Pech.
Hydrogenation of pitch.

Frame Nos. 910 - 912

Industriehilfversuche
Im 555

Direkt-Rund:

Doppel-Nr. Hartmann

Wien 18. September 1914

SKHT

144

910

Arbeitsnotiz.

Zur Verarbeitung von Pech.

Besüglich der Verwendung von Sulfigran auf der Verarbeitung von Pech mit Große-Molybdän wurden in 10 ltr. Öfen wo alle Steinkohleteere stets unter Zugabe von 0,1-0,2% Sulfigran - je nach dem Chlorgehalt des Produktions verarbeitet wurden, niemals Schwierigkeiten beobachtet. Ein genauer Vergleich mit und ohne Sulfigran bei Molybdän liegt nunm nicht vor.

Hinsichtlich der Abdampfdruckführung ist die 10 ltr. Ofen die Temperaturlage des Ofens bestimmt gewesen, die bei Teeren und Teerrückständen (Pechen) reicht noch aus und daher oft sehr schwer zu beherrschen ist. Der geringe verschlechternde Einfluss der Abdampfdruckführung auf Leistung und Vergaserung wird reichlich ausgeglichen durch die bessere Temperaturlage des Ofens und die Verminderung der Möglichkeit des Ablitzens. Bei sehr schlechten Feuerleistungen - mit > 10 % Kesten und > 20 % Asphalt - hat es sich als vorteilhaft gewissen, einen Teil der Abdampfdruckführung durch Schwerdruckführung zu ersetzen, um die Asphaltvernebelung im Ofen zu vermindern.

199.M

Bei der hier vorliegenden Fuchsmischung aus Welheim (mit 1% Festen und 79% Asphalt), die sich auch mit Urada-Molybdän nur schlecht (hohe Abschlammmenge und schlechte Vergussleistung des Abschlammes) verarbeiten lassen durfte, wirken, wie sich auf einer größeren Anzahl von Versuchen (vgl. Bericht vom 21.Juni (14 8424)) schließen lässt, folgende Verhältnisse zu erwarten:

Verarbeitungswweise	1	2	3
	Gerader Durchgang mit Abschlammrückführung (50% auf Frischprodukt)		Mit teilweiser d'Cirrufiltration und Abschlammr. 30%
Kontakt	1,5% Grude-Molyb- dan	2,0% Grude-Bisach- NaOH	2,0% Grude-Bisach- NaOH
Frischölf. Abschlamm	0,2% Mn_2S	0,2% Mn_2S	0,2% Mn_2S
Frischölf. Abstr. 3'51	1 : 0,5	1 : 0,5	1 : 0,3
Frischölf.-Durchsatz	0,65	0,65	0,65
Temperatur	480°	480°	480°
% Abbau v. Festen	90	90	94
% Abbau v. Asphalt	96	95	97
Leistung: (prakt. Olgewinn)	0,5	0,40	0,40
Vergasung: (pr. Olgew. + Verg.)	14	15	25
Im prakt. Olgew. S - 325	50	50	50
Abschl. z. Schw. v. Fr. -0	12	20	15
Im Abschl.: S - 325	20	18	18
* * 1 % Asphalt	4	5	6

- 3 -
Die Sulfinim-Pechbeischung wird z. St. unter den Bedingungen im 10-Ltr.-Ofen verarbeitet und ergibt, soweit es nach den Ofendaten bearbeitet werden kann, ungefähr die erwarteten Werte.

In keinem der bisher in den 10-Ltr.-Ofen durchgeföhrten Versuche wurden jemals wesentliche Störungen beobachtet. Die bei recht gut verarbeitbaren Pechen auftretenden Schwierigkeiten beschränkten sich nur auf die Höhe der Abtschlammmenge und deren Verarbeitung (Vorschweißbarkeit im Kugelofen).

In Pöllitz wurde ohne Sulfigran geföhrt, da der Teer von den Sulfigran-Werken bei der Destillation bereits mit Soda versetzt worden war. Pöllitz verarbeitete das Pech (20 % Festes und 37 % Asche) auf Benzin und Mittelöl. Die Ganzst-Einspritzung bestand (soweit uns bekannt) aus 1 Teil Pech, 1 Teil Rückführ-S'Oil und 0,4-0,5 Teilen Asphaltum. Genaue Zahlen sind in einem Versuchsbetrag von Pöllitz enthalten, der unterwegs ist. Unter diesen Bedingungen konnte Pöllitz 8 Tage Molybdän durch die doppelte Menge Silizium ersetzen, ohne größere Unterschiede in den Ergebnissen zu erhalten.

292 v. Hartmann

TITLE PAGE

45. Vorläufiger Bericht über Hydrierversuche mit
B. T. Teer aus Ochsen Nusskohle.
Preliminary report about hydrogenation
experiments with brown coal tar from
(Ochsen) nut coal.

Frame Nos. 913 - 916

Sketches

E. Baffo

913

卷之三

1

14

Forty-third Street

卷之三

三

卷之三十一

卷之三

卷之三十一

124-1942-1 1942年 1月 25日 晴天 有风 有雨 有雾 有雪 有冰
有霜 有雷 有电 有光 有火 有水 有气 有声 有味 有臭 有臭

高士傳卷之三

卷之三十一

卷之三十一

卷之三十一

卷之三

Sum - 2000	2000		
Am 13000			
X - 1000	34		
Electrician	170		
X - 600	13		
X - 2000	62		
X - 1000	32		
X - 200	18		
Electrician	33		

2) Schweröl.

	Hydrierungs- schweröl	Kühlung mit n-Mittel 82 : 18	Kühlung mit n-Mittel + 76 : 24 1)	Zum Vergleich Hydriertes Schweröl aus Otto-Tor
Spec. Gewicht/20°	1,070	1,050	1,050	1,065
Viskosität 20° 50°	— 11,5° 89,2	35,9° 3,7° 88,6	35,9° 3,6° 88,6	— 9,1° 84,3
x o	—	—	—	—
x n	8,1	8,4	—	7,9
x s	0,06	0,07	—	0,1
p Asphalt	1,7	1,5	1,2	2,6
p Anode	0,02	0,02	Sparen	Sparen
x Koktest p	2,3	1,8	1,0	0,3
Flammpunkt	182	142	141	175
Erstzpunkt	232	170	165	220
Unter. Heizwert Kcal/ltr.	9600	9600	9600	9600
Stoßpunkt	+ 9	+ 9	+ 1	+ 15

In Vergleich mit dem früher untersuchten Otto-Tor und der gleichartigen Esso ergaben sich nur geringfügige Unterschiede. Die Produktqualitäten sind ähnlich, jedoch sind die Heizwerte aus B.T.-Tor und Öl aus dem Stoßpunkt sowie das Gewicht und Literheizwert günstiger. Die bei der Hydrierung gefundenen Ausstände waren praktisch gleich, jedoch ist nach den Unternehmungen der Ausgangsteure anzunehmen, daß auch das B.T.-Tor mit dem höheren C-Gehalt (85,3 % O im Gasotest gegenüber 84,2 % beim Otto-Tor) mit etwas besseren Auskäften hydriert lautet als der Otto-Tor.

Die durch die Hydrierung erzielbare Heizwertverbesserung (Heizwert, Stoßpunkt, spec. Gewicht) wird auch wie folgender Gegenüberstellung eines Qualitätsinstitutes aus dem Originaltest und einer Einheitsprobe eines Viskosimeter aus n-Mittel + Schweröl erachtlich:

1) Aus einer etwas anderen Fahrperiode als die beiden linken Spalten.

	Ausg. 0,7-Tar	Ausg. 1,0-Tar	Ausg. 1,3-Tar
Niedrigpunktviskosität -25°C (10 sec)	2500	2500	2500
aus 0,7-Tar			
	(10-30)	(10-30)	(10-30)
Bspz. Gew. auf 0°- Mittelwert	39,7 kg	39,5 kg	39,5 kg
Bspz. Gew. / 20°	0,980	1,000	1,000
Stockpunkt °C	+ 1	- 20	- 20
Kokosöl	0,53	0,40	0,40
Viskosität bei 20°	2,52°E	2,76°E	2,76°E
S. Phenole	21,0	11,2	11,2
Unterer Beizwert Kcal/ltr.	960	9350	9350
Zwei. Anfang Beginn	176	220	220
% - 225	16,7	1,6	1,6
% - 250	35,6	16	16
% - 300	58	46,5	46,5
% - 325	70,6	62	62
% - 350	81,9	76,7	76,7

Die Ausbauten an den Anforderungen der Marine entsprechenden Ausgaben mit Stockpunkt 0°, spez. Gewicht über 1,03, Beizwert über 9350 Kcal/ltr. und höchsteins 3500 bei 20° wurden bestrebt:

	Ausg. 0,7-Tar	Ausg. 1,0-Tar	Ausg. 1,3-Tar
bei maximalen bei minimalen bei minimaler Viskosität spez. Gewicht Viskosität bei max. bei max. Viscosität			
% Ausbaute Menge			
Originaltar	37	43	42,5
% s-Mittelöl im Beizöl	29	45	25
Beizölgeleigenschaften			
Viskosität b. 20°	35°E	35°E	35°E
Stockpunkt	+ 0°	- 14°	- 22,1
Bspz. Gew. / 20°	1,05	1,03	1,045
Kokosöl	1-1,5	0,8	0,25
Unter. Beizwert Kcal/ltr.	960	9450	9350

Die Meistalle aus Otto-Teer waren im Vergleich zu den aus dem Teer im Stockpunkt nicht ganz wirtschaftlich und könnten eigentlich nur als Klimahilfsmittel verwendet werden. Bezieht sich jedoch, das in Betriebstrahl infolge alterer Fahrzeuge und Automobilverkehrswässer gewisse Abreicherungen eintreten können. Ausgangslage zeigt sich, dass P.T.-Teer einen Klimawert in etwa 10% höheren durch Hydrierung ein Heizöl liefert, das den Heizwert aus Steinkohleverflüssigung nahezu gleichwertig ist, während beim Otto-Teer der Stockpunkt etwas ungünstiger liegt. Auf Grund dieser chemischen Ergebnisse wird die Inbetriebnahme des Klimawertes auf der gleichen Kohle mit Interesse erwartet.

Gemeinsam mit
Dr. Schiffmann.

Ger. Reitz
* Dobath

TITLE PAGE

46. Vorläufiger Bericht über Hydrierversuche mit
Lurgischwelteer aus Oheim-Nusskohle.
Preliminary report about hydrogenation
experiments with Lurgi low temperature
tar from "Oheim" nut coal.

Frame Nos. 917 - 922

1944年，日本政府

三

John B. Moore

202

卷之三

卷之三十一

— 191400) 1,117 000.111.0
000.111.

卷之三

75-11000 (continued from p. 45)

1996-1997 学年第一学期期中考试卷

1942-10-12
Büttnerwuchs mit Blattchen und
Blüten. Nr. 202081 v. 29. Mai 42.
Von 3. August 42.
10-3,5 mm.

1000 kgm mit 1 g K 760% Kurve

Reinheitsgrad	Reinheit > 92%	Reinheit > 92% + Pech auf Benzol + Mitteldiol	Reinheit > 92% + Benzol auf Benzol + Schwerdiol
Wt % (464)	Wt % (464)	Wt % (464)	Wt % (464)
0,43	0,42	0,42	0,42
20	23	23	23
0,40	0,39	0,39	0,39
20,0	12,8	12,8	12,8
—	70,30	—	—
0,40	0	0	10,3
20	6	6	15
20,0	23	23	30
0,40	0,38	0,38	3,40

Ergebnisse: (Tabelle unten folgenden Ergebnissen auf grobtechnische Verarbeitung der Rohstoffverarbeitung folgende Ausmusterung ausgewogen ist) Abbauung ist die Menge schwefelhaltiger Stoffe und die

Reinheit und Durchsetzung ausgeschaut und auf die Tabelle folgen:

Reinheit > 92% + Pech

ausgeschaut:

10,0 % Benzol + Mitteldiol
(ausgeschaut - 9000)

10,0 % Benzol (einschließlich
Schwerdiol)

ausgeschaut bei Reinheit über 92%

10,0 % Benzol + o-Mitteldiol (ausgeschaut - 9000)

10,0 % Schwerdiol (einschließlich Benzol und o-Mitteldiol)

ausgeschaut - Benzol und Schwerdiol

Es ergeben sich also folgende Umlauftausbauteile aus 100 kg Originalteer (= Teer + Fasch im Anteilverhältnis)

Bei Verarbeitung von	Teer > 325° + Fasch auf Schweröl- Überschuss	Teer > 325° + Fasch auf Benzin + Mittelöl	Fasch auf Schwer- ölüberschuss
kg e-Benzin -200°	7,4	12,0	3,0)
kg e-Mittelöl	35,7 64,2	35,7	35,7) 46,5
kg e-Mittelöl	21,1	0,0	7,8) 1)
kg Teer > 325°	--	--	39,3)
kg Hydrierungsschweröl	26,9	--	10,3
Summe der flüssigen Produkte	90,1	87,7	96,1
bzw. kg e-+ e-Mittelöl + e-Benzin (darin e-Benzin -200°)	58,7 (12,0)	57,7 (13,7)	3,0
kg Heizöl maximal (darin e-Mittelöl)	32,42 (20,0)	--	--

Dem Vergleich sind die früher mit Otto-Teer und B.T.-Teer erhaltenen Zahlen in der folgenden Tabelle nochmals aufgeführt:

Bei Verarbeitung von	Otto-Teer auf Schwerölüber- schuss	B.T.-Teer auf Schwerölüber- schuss
werden aus 100 kg Originalteer erhalten:		
kg e-Benzin -200°	6,0	5,5
kg e-Mittelöl	37,0	45,5
kg e-Mittelöl	17,0	13,5
kg Hydrierungsschweröl	34,0	29,5
Summe der flüssigen Produkte	94,0	94,0
bzw. kg e-+ e-Mittelöl + e-Benzin darin e-Benzin -200°	48	51
kg Heizöl darin e-Mittelöl	12,5 46	11 43
	39	45

1) zusammen = angelieferter Teer P 1540
2) 11 + e-Mittelöl auf minimales spez. Gewicht gestellt.

Die Produkte aus Lurgi-Teer hatten folgende Eigenschaften:

1.) Rohstoff.

Zum Vergleich

	Hydrierungsschweröl mit 8% aus Lurgi-Syngass-teeer	dts. in Mischung mit 8% aus Lurgi-Syngass-teeer	zugehöriges Abschlammfiltrat	Hydrierungsschweröl aus Lurgi-Syngass-teeer	dts. in Mischung aus B.T. + Teer	Hydrierungsschweröl aus Otvic-Teer
Spec. Gew./20°	1,050	1,040	1,036	1,044	1,036	1,070
Viskosität 20°	—	35,4%	19,8%	~100%	35,3%	—
50°	5,8%	3,9%	2,63%	6,0%	3,9%	11,5%
C 80	88,6	—	—	—	89,2	88,3
C 110	6,4	—	—	—	6,1	7,9
C 180	0,18	—	—	—	0,06	0,1
S. N-Anteil	1,0	0,9	1,3	1,0	0,7	1,7
S. Anzahl	Spuren	Spuren	Spuren	Spuren	Spuren	Spuren
Kohlestest %	0,30	0,27	1,15	0,26	0,22	2,3
Flammpunkt	185	150	105	185	149	182
Brzpunkt	225	185	156	227	187	232
Unterer Heizwert kcal/Ltr.	9400	—	—	—	9800	9600
Stockpunkt	+ 13	+ 10	+ 1	+ 9	+ 3	+ 13

Im Vergleich mit den früher untersuchten Teeren aus der gleichen Kohle ergeben sich folgende Unterschiede: Das Hydrierungsschweröl aus Lurgiteer hat ein geringeres spes. Gewicht als die Schweröle aus den beiden anderen Teeren, wosach mit Rücksicht auf das zulässige Mittelöl-spezifische Gewicht nur ein geringerer Mittelölanteil möglich ist (maximal etwa 20%). Entsprechend ist der Ltr.-Heizwert des (B.T.+S1-freien) Schweröls am schlechtesten. Im Stockpunkt liegt das Schweröl aus Lurgiteer zwischen den beiden früheren, bei maximaler Mittelölengabe aber am schlechtesten (etwa + 7°). Die übrigen Tests sind in Ordnung. Die Qualitäten bei Verarbeitung des Peche allein sind etwas günstiger. Ebenso ist das Filtrat des Abschlammes hinsichtlich Stockpunkt günstiger, da es infolge seines Gehaltes an spezifisch schweren, hochsiedenden Anteilen auch bei einer größeren Mittelölzusatz noch ein ausreichendes spezifisches Gewicht hat. Diese Verarbeitung des Abschlammes müste bei evtl. Wiederholung der Versuche in größerem Maßstab noch genauer, besonders hinsichtlich Filterbarkeit untersucht werden.

Die vergleichsweise hohe Stockpunkt und das niedrige spezifische Gewicht des Mittelöls aus Türgo-Teer ist vermutlich eine Folge des nur schwach charakterisierten Schmelzverlaufs dieses bei relativ niedriger Temperatur (76°C) des Teers. Mit Rücksicht auf den hohen Stockpunkt müsste der Teer nicht allein verarbeitbar sein sollte, könnte es mit tiefer hydrierender Temperatur vermieden werden. In Frage kommt natürlich auch die direkte Verarbeitung mit Steinkohle zu verarbeiten, was ebenfalls eine erheblich niedrigere Temperatur geben würde. Da sich der Teer hydrierend verarbeiten lässt (von den 3 Teeren bei der gegebenen Temperatur), sind hierbei keine Schwierigkeiten zu erwarten.

2.) Mittelöl

	A-Mittelöl	B-Mittelöl bei Reisölf- fahrweise	C-Mittelöl bei Bi + Mi- Fahrweise	D-Mittelöl aus Fisch- öl allein
Spec. Gew./100	0,977	0,934	0,937	0,934
Anilinpunkt °C	+ 8	- 16	- 16	- 16,5
N-Phenole	---	13,5	12	12,5
ASTM-Degradation	110	190	202	205
K - 270	25	21	6	13
K - 290	40	39	33	42
K - 300	60	55	42	57,5
K - 320	75	93,5	94,5	96
Stockpunkt °C	240	335	336	335

Die C-Mittelöle sind analog den Verhältnissen bei den Hydrierungsschwerölen im spezifischen Gewicht etwas leichter als das aus den früharten Teeren, der Phenolgehalt ist etwa 3 % niedriger, der Anilinpunkt liegt dem des Mittelöls aus Otto-Teer und ist theoretisch höher als bei B.T.-Teer (-20°). Der Unterschied gegenüber dem Benzinkleeverflüssigungsmittelöl ist nicht sehr; über Vorhydrierung und Hydrierung durch Benzine von möglicherweise etwas schlechterer Qualität als aus Steinkohlemittelöl erhalten werden. Benzinierrungsergebnisse liegen noch nicht vor.

3.) S-Peissn.

Mittelwert	Aus Teer		Aus Pech	Zum Vergleich	
	Heizöl	M1 + M2		Aus Otto-Teer	Aus B.T.-Teer
Mineral. Gasz., 20°	0,620	0,640	0,625	0,625	0,670
Mineral.	14	16	12	17	15
Mineral. Gasz., 20°	0,797	0,810	0,797	0,797	0,806
Alk. I	+ 25,5	+ 22	+ 26	+ 22	+ 10
II	+ 56,5	+ 56,5	+ 55	+ 61,5	+ 57
Alk. Gasz.	66	90	60	82	65 (inclus. Ganz)
K - 100	4	2,5	12	6	27,5
K - 150	52	48	58	50	56,5
Ridpunkt	210	210	211	205	209
G.Z. R.M.H.	73	74	76,5	76	80 1)

Übereinkommen mit

Dr. Doenath
Schiffmann

ges. Reitsch

1) ungestützt nach G.Z. Met. M. 71,4

THIS PAGE

47. Vergleichende Hydrierung nach Heizölfahrweise
mit verschiedenen Schmelzteeren aus Chemin-
Nusskohle.

Comparative hydrogenation to fuel oil of
various low temperature tars from "Chemnitz"
nut coal.

Frame Nos. 923 - 926

SK ST

Technische Versuche
in Potsdam

47

22. Januar 1941 Rtu/20

923

1. Februar
1941

Ergebnisse der Hydrierung nach Reihe 1. Versuchsreihe mit
verschiedenen Schwelverfahren aus dem Oberschmelzen
(Ottos Test, B.T. Test, Burgitec,
Keramischer und Stahlbehälter Spülgasofen)

Wir schließen für vergleichende Hydrierversuche 3 Schwelverfahren
die nach verschiedenen Schwelverfahren aus der gleichen Oberschmelze
geringen Rückstand gewonnen wurden. Die Teere wurden bis 325° getrocknet.
Rückstände und Rückstände sind in den folgenden Tabellen einander ge-
genübergestellt.

Test Schwelverfahren	Ottos Test Keramischer Schwefelkohlenfurnier	B.T. Test Stahlbehälter Spülgasofen	Burgitec Spülgasofen	Z Vergl mit K. Heel Temp. 100° (Weltstein) 1)
1) Keramikschmelze 2) Mittelschwelze 3) Stahlbehälter > 225°	37 6	51,2	55 (40 Trennung 25 Trennung)	
2) Eigenschaften des Tees				
Mittelteer / 100°	0,978	0,960	0,972	
Abt. Temperatur Grad Celsius	40	34	33,5	
3) Eigenschaften des Rohr- staubes				
DPSG-Dew Point / 100°	1,066	1,069	1,070	1,170
Staubfeuchtigkeit % D.S.	20 65,4	21 85,1/7,6	18 84,9/7,4	23,7 91,2/1,8

Die Verarbeitung der Teerrückstände bei 600 atm im 1,5 Liter Stumpf
zum mit 1 % Tensolv 7639 und Prischteerdurchmesser 1,0 mm
Mittelwert ergab bei Reihe 1. Versuchsreihe folgende Zahlen:

- 1) VEL-Bericht 204091 v. 23. Juni 40
v. Dr. H. Jäger (Versuche im 10 Ltr. Ofen)

10/41

034

	Officer	B.T. Officer	Intergalactic	High Tech
1. <i>Star Trek</i> (TOS)	24.3 (455)	23.0 (477)	24.9 (458)	25.3 (450)
2. <i>Star Trek</i> (TNG)	0.34	0.43	0.43	0.34
3. <i>Star Trek</i> (DS9)	27.0	13.0	15.5	27.1
4. <i>Star Trek</i> (VOY)	22	47.5	23	46.2
5. <i>Star Trek</i> (ENT)	22	28	26	20.2
6. <i>Star Trek</i> (STO)	2.8	2.6	0.8	2.6
7. <i>Star Trek</i> (STO)	380	350	400	350
8. <i>Star Trek</i> (STO)	0.9 · 10 ⁴	1.0 · 10 ⁴	1.0 · 10 ⁴	1.0 · 10 ⁴
9. <i>Star Trek</i> (STO)	6	6.0	1.1	6
10. <i>Star Trek</i> (STO)	27.6	48.5	29.3	20
11. <i>Star Trek</i> (STO)	27.8	27.0	22.3	20
12. <i>Star Trek</i> (STO)	26.8	22.4	26.4	22.3
13. <i>Star Trek</i> (STO)	26.3	46.2	23.0	29
14. <i>Star Trek</i> (STO)	(22)	49.7	(20)	
15. <i>Star Trek</i> (STO)	27	47.7	58.7	
16. <i>Star Trek</i> (STO)	(27.7)	(22.5)	(13)	
17. <i>Star Trek</i> (STO)	93.3	93.9	92.9	89.3

Mit etwa 10mm Abstand sind im der folgenden Tabelle angegeben:

Abstand zwischen Heizöl und Wand mit Umluftdurchfluss	Wärmeleistung Spur. Gew./ 20°	B.T.-Fest	Längs-Fest	Zum Vergleich Umluftdurchfluss heißluft gew.
100 mm mit Umluftdurchfluss	34,0	19,9	26,9	-
WÄRMELEISTUNG Spur. Gew./ 20°	1.063	1.070	1.030	1.069
WÄRMEDURCHFLUSS 70 mm bei 20°	88,3/7,9	89,2/8,1	88,6/8,4	90,2/7,6
WÄRMEDURCHFLUSS 70 mm bei 20°	89,7	87,9	85,8	87,2
WÄRMEDURCHFLUSS 70 mm bei 20°	87,8	87,9	84,3	85,2
WÄRMEDURCHFLUSS 70 mm bei 20°	195	195	185	195
WÄRMEDURCHFLUSS 70 mm bei 20°	220	232	225	178
WÄRMEDURCHFLUSS 70 mm bei 20°	0,3	2,3	2,3	2,4
WÄRMEDURCHFLUSS 70 mm bei 20°	Spuren	0,02	Spuren	0,00
WÄRMEDURCHFLUSS 70 mm bei 20°	0,6	1,7	1,0	Spuren
WÄRMEDURCHFLUSS 70 mm bei 20°	9600	9800	9400	(r) 0,7 9000
WÄRMEDURCHFLUSS mit 10mm Abstand auf Wand mit Umluftdurchfluss Spur. Gew. 20° bei 20°	-	-	-	(auf Platz 35 zu bei 20° geblieben)
WÄRMEDURCHFLUSS mit 10mm Abstand auf Wand mit Umluftdurchfluss Spur. Gew. 20° bei 20°	65,35	59,45	80,20	60,00
WÄRMEDURCHFLUSS mit 10mm Abstand auf Wand mit Umluftdurchfluss Spur. Gew./ 20°	0,6	0,3	0,6	-
WÄRMEDURCHFLUSS Spur. Gew./ 20°	1.070	1.030	1.030	1.069
WÄRMEDURCHFLUSS 70 mm bei 20°	14	7	10	9,5
WÄRMEDURCHFLUSS 70 mm bei 20°	11,5	10	10	11
WÄRMEDURCHFLUSS 70 mm bei 20°	11,5	110	10	24
WÄRMEDURCHFLUSS 70 mm bei 20°	240	293	163	141
WÄRMEDURCHFLUSS 70 mm bei 20°	0,2	0,8	0,23	0,18
WÄRMEDURCHFLUSS 70 mm bei 20°	1,6	1,0	0,0	0,0

Daraus sind die Heizöle von guter Qualität liegen aber im Durch-
messer etwas hoch. Ein Stockpunkt von 0' muss darunter sein durch ein Mit-
teilungsblatt nur bei dem B.T.-Fest zu erwischen. Für die Praxis kann
allerdings, wenn ein Stockpunkt von 0' gefordert wird, Vorschneiden u. - si-
chern vorsichtigen Heizöl oder geringe Verarbeitung der Teile mit
Pföhle mit Steinkohle in Frage.

Mit a-Mittelöle und Benzine hatten folgende Anreicherungen:

Aus	0300 Trop	D.T. 2.4V	0.050 Trop	W X R 200
a-Mittelöl Spes. Gew. /20° C	0.968	0.959	0.949	0.983
Phenole	16.5	15.8	13.5	1.3
Ketone > 100° Spes. Gew. /20°	0.823	0.848	0.820	0.820
Biphenol	17.	15.	14.	14.
Spes. Gew. /20°	0.797	0.800	0.797	0.80
New. A. Aromaten	45	47.2	33.9	34.
AP IX	62.5	57	36.1	35
Oil. Base Meth.	75	65	55	55

Gemeinsam mit Dr. Danach
Dr. Schiffmann.

TITLE PAGE

48. Versuche im 1 Ltr-Ofen mit Schwefel als
Sumpfphasenkontakt.
Experiments in the 1 liter oven with
sulphur as liquid phase catalyst.

Frame Nos. 927 - 931

卷之三

—
—
—

Boekdruckerei
Luz. 1

Versuche im 1 Ltr.-Durchmesser

四百一

Bei der Verarbeitung von Steinkohle auf Schweröl ist die Wirkung von Sauerstoff zu berücksichtigen. Die Wirkung auf die Leistungsfähigkeit sonstiger Kontaktstoffe kann mit Alkalikontakt verglichen werden. Bei den gleichen Fahrbedingungen, bei denen ein 10% bessere Leistung als Asphaltalubum erreicht wurde, war der Benzin-K. nicht mehr zu erkennen.

Da sich Steinkohle leicht lösbar mit einem Volumen von 200-250% vergrößert, so ist die Leistungsfähigkeit dieser Art der Anwendung des Prozesses sehr groß und es scheint zu erwarten, dass es möglich sein wird, ein kostengünstiges und handhabbares Produkt herzustellen. Untersteinkohle ist ebenfalls eine gute Anwendung für diesen Prozess. Eine Alkali-Lösung wird hierbei

Im Bumpfotest 307 (V. 12.1958) fand sich eine 300-
sige Verzögerung von -325 ms bei einem Durchgang
Durchgang bei 250 nm Wavelength. Die Kontaktzeit
Kontakt mit dem Grindelwald-Kristall (Eigent-
schaft gleichartiger Fähigkeit wie der oben
beschriebenen) beeinflusst auf Zeitverzögerung aktiviert. Es gelang, die Zeitverzögerung
auf 300 ms zu erhöhen.

新嘉坡總理司理處
1811年
新嘉坡總理司理處

卷之三

新嘉坡總理司理事會

Of the following, which is the best way to increase the amount of energy available to a plant?

我已到處尋找，但都沒有找到。我問了幾個人，他們說：「這裏沒有。」

卷之三

第三回 亂世の悲劇
第三回 亂世の悲劇

美矣。譬若水之有源，故其流也，必归于海。故曰：‘水性无常，随物而流。’此之谓也。故知人者，莫若己；知事者，莫若主。故曰：‘主事者，莫若君。’

In the 13th century, the first European universities were founded, marking the beginning of modern higher education.

（略）

第一回 藤野先生（其一）

B28a

1. GÖTTSCHE, WILHELM, 1868-1945, German
Lutheran minister, author, and editor. His
works include "Die Bibel und die Kirche" (1895),
"Die Bibel und das Leben" (1900), and "Die
Bibel und die Zukunft" (1910).

2. GÖTTSCHE, WILHELM, 1868-1945, German
Lutheran minister, author, and editor. His
works include "Die Bibel und die Kirche" (1895),
"Die Bibel und das Leben" (1900), and "Die
Bibel und die Zukunft" (1910).

3. GÖTTSCHE, WILHELM, 1868-1945, German
Lutheran minister, author, and editor. His
works include "Die Bibel und die Kirche" (1895),
"Die Bibel und das Leben" (1900), and "Die
Bibel und die Zukunft" (1910).

4. GÖTTSCHE, WILHELM, 1868-1945, German
Lutheran minister, author, and editor. His
works include "Die Bibel und die Kirche" (1895),
"Die Bibel und das Leben" (1900), and "Die
Bibel und die Zukunft" (1910).

5. GÖTTSCHE, WILHELM, 1868-1945, German
Lutheran minister, author, and editor. His
works include "Die Bibel und die Kirche" (1895),
"Die Bibel und das Leben" (1900), and "Die
Bibel und die Zukunft" (1910).

6. GÖTTSCHE, WILHELM, 1868-1945, German
Lutheran minister, author, and editor. His
works include "Die Bibel und die Kirche" (1895),
"Die Bibel und das Leben" (1900), and "Die
Bibel und die Zukunft" (1910).

829

Fahrzeugleistung

Frischfeuer		P 1531 Y. 11.9.42, getoppt -325 Y. 23.7.43 (BRUDERL 1)	P 1531 Y. 11.9.42
Druck		250 atm	
Kontakt	5% K. 4.178	7,7,6,6, 5,5	7,7,6,6, 5,5
Datum	5.5.	7,7,6,6, 5,5	7,7,6,6, 5,5
1943	0	0 ab	0 ab
Temperatur MV Ofen	25	25,3	25,3
" Abscheider	24	-	-
Wär Ltr./h	2000	-	-
Frischfeuer g/h	700	-	-
Abschlammrückführung	700	-	-
Mn) Kontakt g/h	35	-	-
B ₂ O-Spülung	75	-	-
OI-	19	-	-
Gesamt	1529	1529	1529
Produkt g/h	1226	1226	1226
Abschlamm	909	902	936
Anz H ₂ O	87,5	87	77,5
Vergasung	-	0,3,5	-
Gesamt g/h	1470	1240,5	1460
Produkt			
Span. Gew./20°	1,020	1,024	1,025
Spez. Engler: Beginn	80	85	100
4-200	5,4	6,7	6,0
325	41,6	40,1	41,1
350	60,6	63,2	59,6
Abwasser			
H ₂ O	0,9	3,2	0,5
Festes	2,6	2,5	2,1
OI	96,9	95,3	97,1
Asche i. Festen	21,4	12,2	21,5
OII o-Asphalt	13,6	11,5	11,6
Span. Gew./80°	1,086	1,086	1,084
Spez. Engler: Beginn	200	198	235
4-200	-	-	-
325	7,6	6,0	5,1
350	15,6	19,0	20,4
Leistung -325 ¹⁾	0,153	0,170	0,179
Z Vergas./Leistung -325+Verg. ²⁾	-	18,32/22,7	-
2) BI -200 ³⁾ 1. Bi + M ⁴⁾	12,0	13,3	12,2
Abschlamm herausgesogen	293	28,9	19,5
Auf Frischöl			30,2
			20,5
			31,0

1) nach Gew. Engler berechnet

2) Analyse vom 7.8.ab - Fahrbedingungen wie 7/0.0.0.ab

3) " 8/9,8,0ab

4) Span. Gew. -325 0,950/20°, 325° 1,034/80°

IV. Die Produktionsverhältnisse.

7/12 4000 ft -225° v. 28 7.43 (Sendung II)

卷之三

卷之三

	X 4175	E 5000 E 4775	
Kontakt			
Druck atm	250	-	14
Temp. HV	15,0	25	20
Gas Ltr./h	2000	-	-
Brenzweier			
Frischsteuer g/h	100	-	-
Abschlussanrück- föhrung g/h	700	-	-
Gesamt 1)	1520	-	1511 1223 1451
AUSKAL 61			
↓ Dreh. v/a	120	480	500 477,5
Abschlussanrück	200	00	874 860 103
Vergasung	63,5	69	55
Gesamt	140	1040	1026 910 1440
Prod.			
Dreh. Dreh., 20°	1,00	1,00	1,00 1,00 1,00
Gew. Rigidisierung	12	85	100
X - 200	10	55	60
- 125	10	40	40
- 200	10	55	55
Absochla			
X H ₂ O	1,0	1,0	1,0
X Feinabso	1,0	1,0	1,0
X O ₂	1,0	1,0	1,0
SABOHO 1. P. 0,000	1,0	0,0	0,0 0,0 0,0
O ₂) X B-A 0,000	1,0	1,0	1,0 1,0 1,0
Dreh. Dreh., 0°	1,00	1,00	1,00 1,00 1,00
↓ Engleringe 1,000	1,00	0,63	1,00 1,00 1,00
X - 100	-	-	-
- 325	1,0	0,63	1,0 0,63 1,0
- 350	1,0	0,63	1,0 0,63 1,0
Realeistung - 325	0,037	0,170	1,00 0,00 0,00 0,00
X Vergasung/Reale- istung - 325 + Verg.	10,0	19,0	20,0 20,0 20,0
X Bi - 200 in Dreh. 1,0	1,0	1,0	1,0 1,0 1,0
Y Abschlussanrück 1,00 auf Frischst	20,0	0,0	20,0 20,0 0,0
Durchschrift von Wieland Mantel:			

卷之三

Tabelle 1.

931

Zinngießerer Produktvergleich

Kontakt	IX X 8302	X X 4175		
Druck atm	250	230		
Temperatur MV	25,3	25,3		
Datum	12./13.8. 64	12.8. 64		
<u>Anfallprodukt</u>				
spez.Gew./20°	1,030	1,035		
<u>Gew. Engler</u>				
Beginn	80	87		
x - 200	5,6	2,2		
250	14,1	14,1		
325	30,0	30,0		
350	56,0	56,0		
Benzin -200° Gew.%	6,2	6,0		
Foh Spez.Gew. 200	0,997	0,995		
A.P. °C	+10,0	+10,0		
* Phenole	12,2	12,2		
Mit NaOH behandelt (entphenolisiert)				
spez.Gew./20°	0,910	0,914		
A.P. 1/1a	+11,0/15,0	+10,2/23,0		
II	1,0	1,0		
ASTM Beginn	100	100		
x - 100	-	-		
120	13	13		
150	49	49		
170	71	71		
180	81	81		
200	94	94		
Endpunkt/x	220/97	220/97		
<u>Komponenten</u>				
Gew.% Paraffine	34	34		
Naphthalene	10,5	10,5		
Aromat.	42,5	42,5		
Ungesättigte	8	8		
110-140° Spez.Gew./A.P.	0,786/20	+10,0	0,770/20	+10,0
150-180° "	0,816/20	+10,0	0,820/20	+10,0
180-210° "	0,836/20	+15,0	0,842/20	+15,0
<u>Mittelöl 200-325° Gew.%</u>	35,1	35,1		
Foh Spez.Gew./20°	0,985	0,985		
A.P. in Mischung	110	110		
Phenole	51%	51%		
Gew. Engler Beginn	105	105		
x - 200	- 0,3	- 0,3		
250	32,3	32,3		
300	77,0	77,0		
325	92,4	92,4		
Endpunkt/x	340/97,2	340/97,2		
<u>entphenolisiert</u>				
spez.Gew./20°	0,962	0,962		
A.P. in Mischung	110	110		
Ring- & Aromatenketten	14,5%	14,5%		
210-230° Spez.Gew./A.P.	0,905/20	+70	0,902/20	+70
in Mischung	-	-	-	-
240-270	0,940/20	+18	0,942/20	+18
250-310	0,977/20	+17	0,983/20	+17
<u>Schweröl 325° Gew.%</u>	57,0	57,0		
spez.Gew./50°	1,060	1,060		
Vakuumdestillation	(1 mm).	(1 mm).		
Beginn	192	192		
x - 225	37,7	37,7		
275	85,2	85,2		
325	97,0	97,0		
-225° Spez.Gew.	1,040/40	1,044/40		
225-275	1,055/60	1,056/60		
275-325	1,075/90	1,076/90		
<u>Heizöluntersuchung</u>	steht noch aus	steht noch aus		

TITLE PAGE

49. Verarbeitung von Böhlerer Teer bei 250 atm.
im 10 Ltr.-Ofen.
Hydrogenation of Böhlerer Tar at 250 atm.
in the 10 liter oven.

Frame Nos. 932 - 947

BT
8. 2. 1943. Nr. 17

932

Untersuchung von Asphaltarbeiten bei 250 atm
in 10 Ltr.-Ofen.

In diesem letzten Versuch wurde Foppdruckstand über 32° auf 250 atm (I 1158 v. 12.11.38) bei 250 atm mit Grude-Mölleran
versucht zu erhöhen. Der Rückstand enthielt 4,4 % Asphalt und nur
0,05 % Asphaltsäure. Der Versuch, dessen Ergebnisse nachstehend
mitgetheilt sind, verlief störungsfrei.

Allgemein	1	2
Kontakt s. Prüfung	x	0,4
Prüfung: Abstreif- schwund	57 : 43	57 : 43
PTI/Prüf.: Abschlaue	1 : 0,5	1 : 0,5
Temperatur Verheizer	°C	476
+ Ofen	°C	476
Prüfungsduurhaut		0,69
Gesamtzg. Prüfung		3,0
+ 10 Ltr.-Ofen		3,1
+ 10 Ltr.-Leistung von	0,51	0,64
Vergleich s. Realeistung x + Verg.	14,2	11,4
Asphaltdurchm.		100
		100

Der 10 Ltr.-Ofen mit verhältnismäßig geringer Kontaktmenge zeigt eine ausreichende Leistung und einen restlosen Abbau des Asphaltas. Die Erhöhung der Ofentemperatur von 476 auf 480° führt zu einer Steigerung der Leistung um 25 %, die Vergleich auf Reubildung + Vergleichswert durchgeführt. Mit 480° schien die obere Grenze erreicht im 10 Ltr.-Ofen erreicht zu sein.

	10 Ltr.-Ofen	Böhnen
Kontakt	x	unter 0,2
Verheizer	°C	448 - 458
Ofen	°C	476 - 488
Leistung		0,61
Vergleich	x	13 - 14

Bei der wesentlich höheren Leistung des 10 Ltr.-Ofens haben wir wieder eine höhere Kontaktzeit, die höhere Verbrennungsperiode und eine höhere Auskohlung des Ölgevinns (im Böhnen wurde die Ölmenge deutlich erhöht). Möglicherweise waren die in Böhnen erzielten Werte auch etwas schlechter als die die hier geprägte.

Der Kondensat - 100% lag mit dem Klopfwert 50,5 bzw. in der Abgasprobe der Verdampfungsprobe und weit unter dem der Benzoline aus der Verdampfung von Rohöl über (72), von denen es sich durch seinen Gehalt an Aromaten, Aromaten und Ungesättigten unterscheidet. Der Klopfzähler des Rohöl-Ofens war auch am Mittwoch zu erheben, das Abstreifzähler nur noch nur 0,6 % Phenole enthielt, was den spezifischen Gewicht der Abstreifzähler bestätigt.

Wegen Überschlagsigen Rechnung nach wurden in einem einzigen Versuch 2/3 von dem Ofen rd. 40 % des gesamten eingeschütteten Fettes verarbeitet.

Die Versuche wurden durchgeführt
vom Dr. Kronig

ges. Hupfer
Leonhardt

gemeinsam mit Dr. v. Hartmann
Dr. Rauh
Dr. Schellner

Reaktionsanlaufarbeitung: Dr. Gieg

Untersuchungen: Mr. Schirrmann
Dr. Meier
Dr. v. Flotow
Dr. Lenzs.

卷之三

卷之三

卷之三

10. The following table shows the number of hours worked by 1000 workers in a certain industry.

W. H. G. 1000 ft. S. E. 45° 290 cu. yds. Inclined, 10 ft. thick.

10. The following table shows the number of hours worked by each of the 100 workers in the sample.

10. The following table gives the number of hours worked by each of the 100 workers.

Die Beobachtungen des P 1235 mit seinen
Vorläufern und P 1236 gleichen
völlig ab. - 2226. Friedhof
Abstretter 8'01 = 57 - 45.
Von den im Abstretter vorhandenen 1000
P. 2 bzw. Friedhof. Eine P. 5 ist
nur auf dem Friedhof verzeichnet.
Von den Verheilten kann nur ein
P. 1 auf Friedhof. Ein P. 10 auf
Friedhof und sonst nirgends.
Abstretter zusammen das
1000-ige und Reichenbach 100

Werte mit $1 : 0,4$ herabgesetzt werden. The-
oretisch ist dies möglich.

ANSWER *What is the best way to get rid of a bad habit?*

Die Werte der Tabelle sind mit $\lambda = 0,5$ vergleichbar.

Die Wirkung ist also niedrig. Die Wirkung ist aber nicht gleichmäßig. Sie ist am stärksten bei den optischen Strukturen, die man kennt und die

935

... und 8,0 kg verringert.
verbesserung und die Turbo Jet

... Schubstoff die
... bei gleicher Temperatur bei 25,0 mF erhöht.

Forschungsergebnisse:

Tabelle 1 a - b. Bilanzen

- 2 Untersuchung des Frischöls
- 3 " Benzine
- 4 " Mittelöle
- 5 " Schweröle
- 6 " der Abschlammöle
- 7 Benzinfractionen
- 8 Elementaranalysen
- 9 Elementerbilanz
- 10 Verteilung des als HV vorgestellten O
- 11 Abbaurealanalysen
- 12 Organisch gebundener Schwefel in Abgasen
- 13 Schwefelanalyse des Abschlammes
- 14 Paraffinbestimmungen
- 15 Siedeanalyse des Abschlammes

Tabelle 1 a **BILANZEN.**

D37

Milano-Nr.	1	2
Tag 1939	1.9	9.9
Dokument	a b c	a b c
Frischöl		
Kontakt	P 1239 get. - 325	
# 5475 Oh. 12 30%15	v. 12.11.38	0,4
Rückführung		
Frischöl : Abstreifergewinn	57 : 43	
: Abschluss		1 : 0,5
Bedingungen		
Druck atm	250	
Vormizertemperatur °C	476	461
Ofen temperatur °C	476	480
Abschmelztemperatur °C	464	468
Durchsatz kg Frischöl/ltr./h	0,69	0,68
Ges. cbm/kg Frischöl	3,03	3,13
Umdrehungszahl des Ofenrührers	38	
<hr/>		
Ervatnisse 1)		
Rohbilanz aus/a in %	100,1	91,7
Ausbeute auf R. Fr.-Ol + R _p -Verbrauch %	100,0	98,2
Prakt. Olgewinn-(Bi + Ni) Leistung	0,54	0,68
* * * Kapazität	0,51	0,64
* * auf R. Fr.-Ol %	80,3	83,6
darin Bi = 200° %	24,0	26,2
Schwarzüberschuss auf R. Fr.-Ol %	6,1	3,2
Vergaserung auf prakt. Olgew. + Verg. %	13,6	10,9
* * Senbildung %	14,2	11,4
Vergastes CO auf C. V. Fr.-Ol %	12,9	10,4
davon als CO	3,6	6,4
* * CO ₂ %	0,2	1,3
Asphaltsatz	100,0	100,0
Senabschluss auf Frischöl %	2,7	2,8
Wasserneubildung auf Frischöl %	2,7	2,9

1) gerechnet auf butanfreies Benzin

Bilanzen
Tabelle 1 b Anhänger des Anfalle.

Bilanz		1	2
Abstreifgr + Schmelzöle			
Spez. Gewicht/20°		0,694	0,693
Vasser	%	0,4	0,6
- 200°	%	13,6	11,0
200 - 325°	%	35,6	39,4
Abschlämme			
Spez. Gewicht/20°		0,910	0,920
Pasten	%	13,0	11,6
Anhänger im Pasten	%	44,4	46,6
200 - 325°	%	15,1	19,5
n-Asphalt	%	0,5	0,2

939

Tabelle 2 Untersuchung des Frieshöls zu Milano 2

Spec. Gewicht/50°		0,950
Dev. Engler 200-325	%	4,1
"	%	100,0
Teschukurve bei mm		17
170-225°	%	14,5
Spec. Dens./40	%	0,934
225 - 275	%	42,3
Spec. Dens./60°		0,911
275 - 325	%	67,0
Spec. Dens./90°		0,900
"	%	100,0
Benzolrester	%	0,05
Asche i. o.	%	0,02
n-Asphalt		4,4
- 325°	%	4,1

940

Tabelle 3 Benzinkontrolle
zu Klimax 2

Reaktion - 200° + Benzink + Buten		
90 : 5 : 5		
Spz. Gew. / 20°	0,750	
Visk. Z.	1,5	
A.P. °C	44,9	
Destilliert	mit 5% Ur.-Lösung + Schwefel 2 x 1% K_2SO_4 96% 16, dann NaOH über NaOH destilliert	
Koff. Visc. *	1,0	
Viscos. *	1,0	
Koff. *	5,1	
Spz. Gew. / 20°	0,742	
A.P. I °C	48,0	
" II "	49,7	
" III "	55,0	
Dampfdruck	0,598	
On-Schiffen	corridiert	
-Schale	0,19 g max.	
Mass. Schale mg	2,4	
Int.-Test	negativ	
K_2SO_4	2 - 3	
AUTM 32-40	1,0	
50	2,0	
60	6,0	
70	9,0	
80	12,0	
90	15,0	
100	20,0	
110	24,5	
120	30,0	
130	32,5	
140	42,0	
150	51,0	
160	58,5	
170	67,0	
180	75,0	
190	84,0	
200	91,0	
210	92,0	
218	93,0	
R	94,5	
		Faktion 80-100°
		Spz. Gew. / 20° 0,681
		A.P. °C 53,0
		Faktion 110-140°
		Spz. Gew. / 20° 0,714
		A.P. °C 45,2
		Faktion 150-180°
		Spz. Gew. / 20° 0,768
		A.P. °C 46,0
		Faktion 180-210°
		Spz. Gew. / 20° 0,765
		A.P. °C 45,5
		Zusammensetzung
		Paraffine % 71,0
		Septhene % 10,5
		Aromaten % 18,9
		unges. IW % 3,0
		Klopfwert hzs. 50,5

Tabelle 4 Mittelblutuntersuchung
zu Bilanz 2

941

Fraction > 2000 + Summe 101	95,6 : 1,4
Spes. Gew./20°	0,921
Schwerol - 3250	% 39,8
Spes. Gew./20	0,939
A.F.	90 41,0
Phenole	% 0,6
Wasser, XV	% 8,2
Spes. Gew., Endler 236-2500	14,7
273°	51,2
300°	79,7
325°	94,5
353°	97,5
R	100,0
Fraction 240-2400	
Spes. Gew./20°	0,879
A.F. /	58,1
260-3100	
Spes. Gew./20°	0,897
A.F. /	44,1

Tabelle 5 Rohstoffuntersuchung
zu Bilanz 2

Schwerol > 3250	60,2 %
Spes. Gew./500	0,925
Volumenkurve bei 200	17
200-2250	% 40,1
Spes. Gew./40°	0,922
-273°	% 68,4
Spes. Gew./60°	0,912
-325°	97,7
Spes. Gew./90°	0,911
R	100,0

Tabelle 6 Untersuchung der Abtrennung
zu Bilanz 2

Abschmelztl.

Spec. Gew./50°	0,922
Gew. Brügel	
195-325°	x 19,5
R	x 100,0

Mittelwl. -325° (22,1%)

Spec. Gew./20°	0,885
Phenole	x 0,1
Wasser, IV	x 8,0
A.P.	o 38,6

Gew. Brügel

194-225°	7,6
225°	23,7
275°	51,0
300°	79,7
325°	95,1
335°	97,5
R	100,0

Fraktion 210-230°

Spec. Gew./20°	0,841
A.P.	o 37,7

Fraktion 240-270°

Spec. Gew./20°	0,874
A.P.	o 36,8

Fraktion 280-310°

Spec. Gew./20°	0,901
A.P.	o 41,3

Mittelwl. > 325° (77,9 %)

Volumenkurve bei mm	17
194-225°	x 27,3
Spec. Gew./40°	0,926
225-275°	x 74,2
Spec. Gew./60°	0,924
275-325°	x 69,4
Spec. Gew./90°	0,929
R	x 100,0

Tabelle 7 Benzinfractionen

Benzin - 200° + Fenant + Daten (1221 : 62 : 67) ref.

Faktion	I	II	III	IV	V
Temperatur	-79°	79-124°	124-154°	154-180°	> 180
Gew. %	20,0	19,9	20,1	19,8	20,1
Spec. Gew.	0,644/10	0,716/20	0,754/20	0,777/20	0,803/20
A.P. I °C	--	+ 50,0	+ 46,5	+ 46,0	+ 47,5
• II •	--	+ 62,5	+ 63,2	+ 68,0	+ 71,5
Anges. IV 4	--	4,0	4,0	3,0	3,5
Klopwerte:					
Ron.	80,0	54,5	43,0	39,5	20,5
Motor	78,0	52,5	45,5	38,0	30,0

Tabelle 8 - Elementaranalysen.

Produkt	Frisch- öl P 1298	Benzin -200	Mittel- öl 200-325°	S'Ol aus Ab- ström- röhre Schmelz- pt >325°	S'Ol aus Abström- röhre >325°	Abschlamm- öl	Festes aus Abschlaum
Asche %							
C	84,36	85,13	87,45	88,27	88,47	88,13	44,73
H	10,67	14,27	11,81	10,33	10,78	10,58	1,91
O	3,36	0,38	0,37	0,68	0,58	0,83	0
N	0,24	0,15	0,20	0,26	0,12	0,22	0,63
S 77. "							4,03
S ges. "	1,36	0,048	0,17	0,46	0,25	0,24	9,87
Hdip. "	12,00	16,68	15,38	11,47	12,10	11,83	--

Zabelle 9
Elementar-Bilans
zu Bilanz 2

945

	O g/h	H g/h	O g/h	H g/h	N g/h
Abgas "Arbeits"	5405	684	215	15,4	87,1
Kontakt	16	1	5	0,2	4,2
Zündungs-Gas	35	169	11	--	
Durchsatzungang	5456	854	231	15,6	91,3
Abgas					
Wasserstoff	1150	193	3	2,1	0,7
Butan	3055	412	13	2,7	5,9
Propan	442	59	3	0,6	3,5
Absatzkerosin	240	17	1	0,4	0,4
Absatzkondensat	10	1	--	0,2	2,1
Azotin	1	20	100	79	7,9
Gas im Prod. gelöst	50	10	--	--	
Ölnektar	446	122	27	--	34,7
Abstraffer-gas	152	37	2	0,3	34,2
Abstraffluide	12	3	--	0,3	2,0
Durchsatzungang	5456	854	231	15,6	91,3
Summe / 100 Korrekturierten Werten	100,6		99,0	131,5	99,4
Korrekturen: O-Bilanz: Zündungspotenz					
O - " : Abwasser					
H - " : Ausgang H ₂ O und Mitteldi					
S - " : Abstraffer-gas.					

Tabelle 10 Verteilung des als KW vergaste O₂ 1)
in Bilanz 2

als O ₂ - KW	%	31,5
* O ₂ - *	*	15,7
* O ₃ - *	*	31,3
* O ₄ - *	*	21,5
Ungesättigte von O ₂	%	4,1
* * O ₃	*	7,3
* * O ₄	*	11,4
* * O _{1+O₄}	*	5,4

1) berechnet auf butanfreies Bi in

Tabelle 11 Abwasseraufnahmen

Bilanz	1	2
CO ₂ N/kg	8,96	10,8
H ₂ S	--	31,5
H ₂ S	--	31,3
O ₁	0,139	0,18

Tabelle 12
Organisch gebundener Schwefel in Abgasen
zu Bilanz 2

947

	mg S/m³
Oxengas	31,0%
Abschlammgas	14,67
Produktgas	verumglickt

Tabelle 13
Abschlammabschaltung

Bilanz-Nr.	Labor	Betrieb	
	2	1	2
Teer	84,3%	80,0	75,0
Koks	11,7%	16,0	22,0
H ₂ O	1,0%		
Gas und Verlust	3,0%	} 4,0	3,0
Schwefel u. Öl in Abschlamm	95,6	91,6	85,0

Tabelle 14
Paraffinbestimmungen zu Bilanz 2

Prischöl	10,2%
Abstreifer + Schwefel	15,0%
Abschlammööl	16,5%

Tabelle 15
Niederschläge vom Abschlamm zu Bilanz 2

Rückstand auf 4900er Sieb	x	0,9
" 10000er "	x	1,8
" 12000er "	x	0,9
" 16000er "	x	1,8
Durchgang durch	x	24,6
	x	10,0

TITLE PAGE

50. Hydrierversuche mit Brüsser Teer (P 1397
original) im Dreihalskolben.
Hydrogenation experiments with Brux Tar
(P 1397 original) in the rotary auto-
clave.

Frame Nos. 948 - 953

BT
Vadiorophversuche
Lu 556

948

2. April 1943 Ortsk

PPMPO

Kondensationsversuch mit Bruxer Tuer (P 1327 Berlin)

In Drehnutschäften.

50

Ergebnisse der Versuchsanordnung.

Aus den Versuchsergebnissen, die in den beiden Tabellen und Kurvenblättern zusammengestellt sind ergibt sich:

Die Unterschiede in der Phenolreduktion sind bei den verschiedenen Kontaktarten gering. Es sind Andeutungen dafür vorhanden, daß zähne Eisenkontakte die Phenole besser reduzieren als alkalische oder flüssige. Grudemolybdän ist hierin nur wenig günstiger als einer zweizweckender Grudeeisenkontakt, in Asphaltreduktion und Vergasung jedoch ist er dem Eisenkontakt überlegen.

Erhöhung des Kautschukdruckes wirkt sich beim Bruxer Tuer vor allem in Erhöhung des Asphalts und Textestaus günstig aus. Auch die Phenolreduktion ist bei 600 atm deutlich besser als bei 100 atm. Bei Drucken unter 200 atm geht die Asphaltreduktion stark zurück, es tritt Festenbildung auf und die Spaltung sinkt ebenfalls. Bei 100 und 200 atm ist kaum ein Spaltungsanstieg bemerkbar. Bei 600 atm konnte der Füllungsgrad gegen 100 atm mehr als verdreifacht und gegen 200 atm verdoppelt werden.

800 - Graßl

Ergebnisse mit:

Dr. Schaffmann
Dr. Neilmann

Phenolreduktion mit verschiedenen Kontaktarten und
Druckeinfluss bei der Hydrierung von Brixer Teer

919

Im Zusammenhang mit der Verarbeitung von Brixer Teer in Pellets wurden einige Sumpfphasenkontakte auf ihre Phenolreduktion untersucht. Vor allen sollte festgestellt werden, ob darin Unterschiede zwischen sauer reagierenden Kontaktarten und alkalischen oder neutralen bestehen, bzw. wie Eisenkontakt im Vergleich zu Stahleneisgut darin liegt. Ferner war noch zu prüfen, wie die Phenolreduktion durch den Wasserstoffdruck beeinflusst wird.

Bei den untersuchten Kontaktarten (s.Tab. I) sind die Unterschiede in der Phenolreduktion mehr gering, doch sind Abweichungen deutlich vorhanden, daß sauer reagierende Kontaktarten etwas günstiger liegen. Grudemolybdän, das als neutral reagierender Kontakt anzusehen ist, liegt etwas besser als die Eisenkontakte, doch ist der Unterschied gegen den anderen Eisenkontakt nur gering.

Der Grudemolybdänkontakt ist den Eisenkontakten vor allem in der Asphaltreduktion und in der Vergasung überlegen. In der Spaltaktivität kommt der saure Eisenkontakt dem Grudemolybdänkontakt praktisch gleich.

In Tabelle II und in den Kurvenblättern sind Versuchsergebnisse, die bei verschiedenen Drücken erhalten wurden, aufgeführt. Dabei wurde die Wasserstoffmenge per kg Teer bei etwa 400 bis 500 konstant gehalten.

Mit der Erhöhung des Drucks von 150 auf 600 atm nimmt der Wasserstoffverbrauch auf rund das Doppelte und die Füllung des Anfallproduktes, die bei 150 atm dunkelbraun ist, steht bei 600 atm in braungrün und bei 600 atm in dunkelgrün über. Die Linsenbildung wirkt sich am deutlichsten im Asphalt- und Kieselguthaus aus, so daß bei 150 atm noch Füster neugebildet wird, steigt bei 300 atm der Festenabbau auf 60 bis 65 % und beträgt bei 600 atm 72 - 73 %. Etwas günstig ist der Einfluß der Druckerhöhung auf den Asphalt. Verhältnismäßig wenig druckabhängig ist die Spaltung. Zwischen 150 und 300 atm ist ein kleiner Anstieg der Spaltung vorhanden, im Bereich von 300 zu 600 atm dagegen bleibt die Spaltung praktisch konstant. Die Vergasung auf Eisen ist bei hohem Druck nicht so sehr größer, was so erklärt werden könnte, daß die bei höherem Druck abgesonderten höhermolekularen Anteile (Asphalt) leichter zu Gasbildung neigen. Auch die Phenolreduktion ist bei hohem Druck günstiger.

Da bei 600 atm der Füllungsgrad gegen 150 atm mehr als zweimal und gegen 300 atm etwa doppelt so hoch und dabei die Ergebnisse wesentlich günstiger waren, müste es möglich sein, bei einer technischen Verarbeitung des Brixer Teers in der Rostpfanne bei 700 atm mindestens mit doppeltem Durchsatz gegen 300 atm zu arbeiten, was mehr als bei hohem Druck höhere Temperaturen erfordert werden kann.

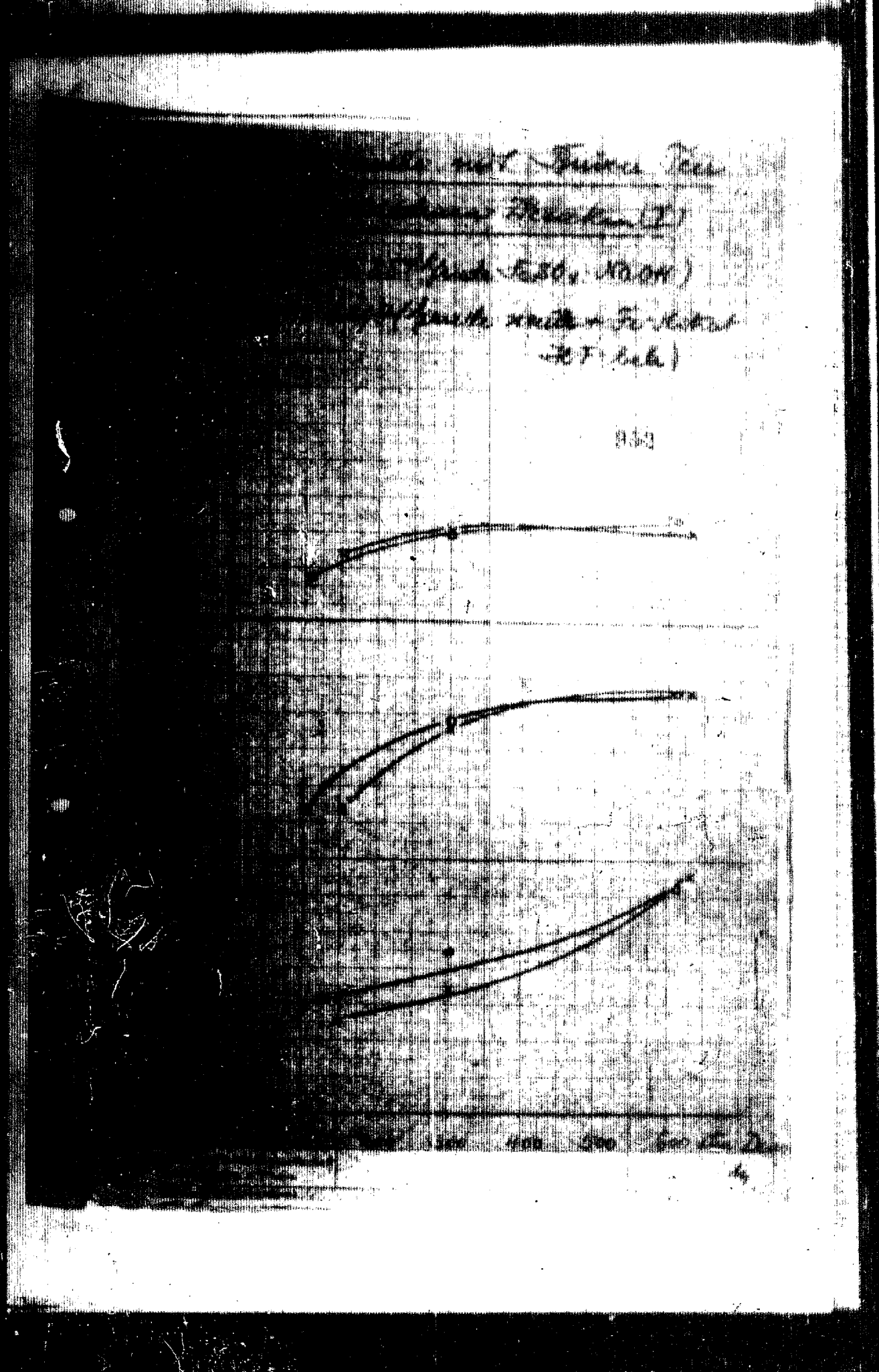
卷之三

卷之三

Anheizzeit: 3 Std., - Reaktionsetzt 3 Std., - Temperatur 25,0 $^{\circ}\text{C}$ (\sim 442°D) - Elektrodenabstand ca. 300 cm,
Vollmeßgrad: ca. 20 %, Intensitätskor.: 1,5 \times + 1,0 % Elek. Schleif.

U.S.L.

Ergonomics in Design 53-4-1 Human factors in design

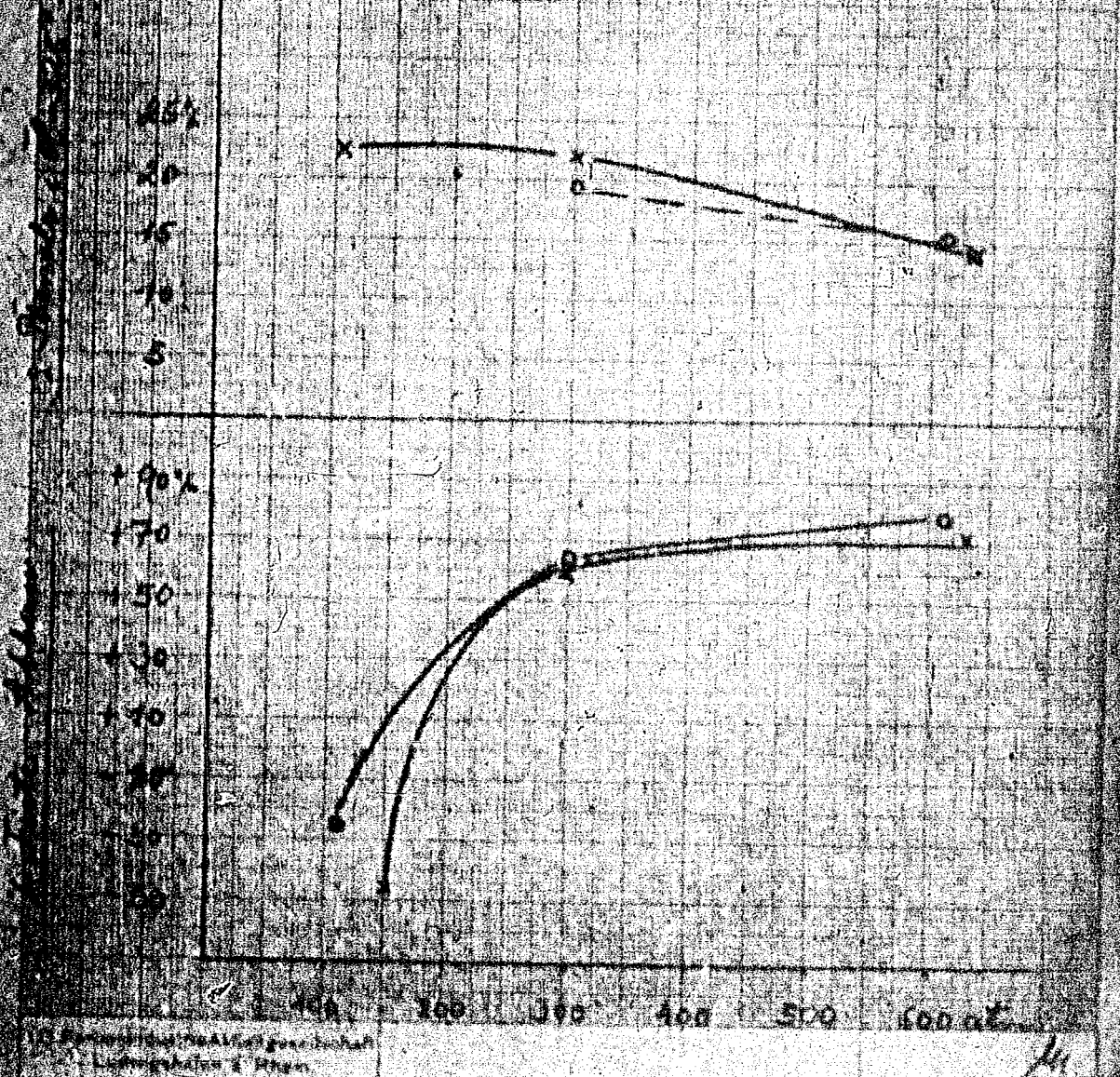


St. 7685 north of Prairie City
Washington (I)

938

— St. 7685 (fruits FeSO₄ NaOH)

○ — ○ St. 8207C fruits meth. Sb (VO₃)₂
St. 5 Brandt



**I. Alkylation, synthesis andMiscellaneous from files of
Dr. Seaton.**

1. Rostin-Verfahren.

Rostin process for refining shale oil gasoline.
April 14, 1942.

1 - 2

**2. Abschlamfiltrationsversuche mit Essigester,
Neosolvane und Darauf Furfural-Gemisch.**

Experiments on filtration of sludge with ethyl
acetate, neosolvane and their furfural mixtures.
March 28, 1942.

3 - 4

**3. Gewinnung von ungesättigten Krackgasen aus Wasser-
stoffreichen Mittelfluten.**

Production of unsaturated crack gases from
hydrogen rich middle oils, November 12, 1941.

5 - 14

4. Schätzung des Tonerdebedarfs für die Dehydrierung.

Estimate of aluminum oxide requirements for
dehydrogenation, October 3, 1941.

10 - 18

5. Schema Alkylat-Anlage.

Scheme of alkylate plant, May 12, 1941.

20 - 21

6. Referat für die Spartenleitung am 16.7.42.

Kohlenwasserstoffsynthese. Stand der Schaumfahrwale.
Report for the "Sparte" meeting of July 16,
1942. Hydrocarbon synthesis. Status of foam
method of production.

22 - 23

7. Besprechung über Kohlenstoff - Wasserstoff - Synthesen.

Berlin, Linderbank, 1.Juli 1941.
Conference on carbon - hydrogen syntheses.
July 1, 1941.

27 - 37

8. Versuche mit H₂-CO₂-Gemischen unter DED-Bedingungen.

Experiments with hydrogen - carbon dioxide mixtures
under DED conditions. March 6, 1942.

38 - 40

**9. Betrifft: Kohlenwasserstoff-Synthese in Organoviertel
von Eisenkatalysatoren. Schreiben der Reaktionsteile**

vom 13.6.41.
Memorandum on hydrocarbon synthesis with iron
catalysts. June 13, 1941.

47 - 49

10. Oxo-Reaktion; kontinuierliche Versuche.

Oxo reactions; continuous experiments.
April 12, 1940.

51 - 52

LIST NO.

FRANK K. J.

11. Zur Selektivität der Butandehydrierung.
Concerning the selectivity of butane dehydrogenation. November 5, 1941. 82 - 84
12. Butandehydrierung mit Gasumwälzung.
Butane dehydrogenation with gas recirculation. October 19, 1941. 82 - 84
13. Zur Selektivität der Butandehydrierung.
Concerning the selectivity of butane dehydrogenation. October 31, 1941. 82 - 84
14. Selektivität der Butandehydrierung.
Selectivity of the butane dehydrogenation. October 12, 1941. 82 - 84
15. Dehydrierung von n-Butan.
Dehydrogenation of n-butane. October 5, 1941. 77 - 78
16. Drucklose n-Butandehydrierung mit Oxymer Kontakt.
Dehydrogenation of n-butane with Oxymer catalyst at normal pressure. September 1, 1941. 78 - 79
17. Derzeitiger Stand der Dehydrierung von Propan, n-Butan und i-Butan.
Present status of the dehydrogenation of propane n-butane and i-butane. July 28, 1939. 78 - 81
18. Versuche zur Butan-Isoomerisierung.
Experiments on butane isomerization. July 18, 1941. 82 - 83
19. Gesamtbutan- und Isobutan-Inhalt.
Effect of different methods of operation on the total butane and iso-butane formation in the catalytic pressure hydrogenation. January 3, 1941. 82 - 84
20. Isomerisierende Spaltung.
Isomerizing splitting. December 20, 1940. 92 - 107
21. Isomerisieren von n-Butan und n-Pentan.
Isomerization of n-butane and n-pentane. 108 - 116
22. Versuche zur Herstellung von "Triptan" und einiger anderer Isoparaffine.
Experiments on the preparation of Triptane and some other isoparaffins. Oct. 30, 1940. 117 - 125

23. Aussprache über Isomerisierung, Dehydrierung von
Butan und Propan, Alkylierung, Benzenan-
Cyclisierung, Polymerbenzin.
Conference on Isomerization, dehydrogenation
of butane and propane, alkylation, benzene
cyclization, polymer-gasoline. June 24-26,
1940. 148 - 149
24. Isomerisierung. Besprechung der K.W.-Katalysatoren
in Leuna am 14. und 15. Dezember 1939.
Conference on Isomerization. December 14-15,
1939. 149 - 150
25. Versuche zur Herstellung oleinfreier Mittelöle.
Experiments on the production of olefin-free
middle oils. August 3, 1940. 150 - 151
26. 6434 - Benziniierung und katalytisches Kracken.
Gasoline production and catalytic cracking
with 6434 catalyst. January 13, 1941. 151 - 152
27. Katalytisches Kracken über SiO₂-freie Kataly-
satoren.
Catalytic cracking over SiO₂-free catalysts.
April 10, 1941. 152
28. Betr.: Bleicherden von Monatierbaum und Pressburg.
Bleaching earth from Monatierbaum and
Pressburg. December 21, 1940. 153
29. Das Verhalten von Krackbenzinen bei der Hydrierung.
The behavior of crack gasolines in the
hydrogenation. October 31, 1940. 153 - 154
- II. Diesel fuel from Michael process and from coal
hydrogenation.
1. Unterteilung der Anlagekosten zur Erzeugung von
100 000 t/Jahr flüssigen Produkten unter Berück-
sichtigung der Polymerisation des Benzins zu
Dieselöl nach dem Syntheseverfahren (Michael).
(mit Ethylengewinnung).
Itemization of plant costs for producing
100,000 tons per year liquid fuels (gasoline
being polymerized to Diesel oil according to
the synthesis process of Michael - including
ethylene recovery). November 10, 1940. 155 - 156

FILE NO.**PAGE NO.**

2. Vergleichende Darstellung der Produktionsmenge beim Fischer- und beim I.G.-Verfahren (Gasumwandlungsverfahren).	Comparison of composition of products in the Fischer process and in the I.G. process.	167
3. Dieselölproduktion und Möglichkeiten.	Actual and possible production of Diesel oil.	168 - 170
4. Dieselöl-Produktion in Steinkohle-Hydrieranlagen.	Diesel oil production in coal hydrogenation plants. June 5, 1941.	170 - 175
5. Dieselölherzeugung in Steinkohle-Hydrieranlagen.	Diesel oil production in coal hydrogenation plants. June 5, 1941.	175 - 178
6. Umstellung einer Gasphase für 200 000 jato Autobenzin aus Steinkohleverflüssigungs Bi. plus Mittelöl auf Autobenzin plus Dieselöl.	Conversion of a gas phase for 200,000 tons per year gasoline from liquid phase gasoline plus Middle oil to gasoline plus Diesel oil.	179 - 180
7. Zur Frage der Herstellung von Spezial-Dieselölen mit tiefem Stockpunkt und hoher Cetanzahl.	Concerning the production of special diesel oils with low pour point and high cetane number. April 7, 1941.	181 - 182
8. Kristalle im Spezial-Dieselöl Lu 2.	Concerning crystals in special diesel oil Lu 2. March 31, 1941.	183
III. Correspondence and meetings of Leuna personnel with Apollo-refinery and some Rumanian firms.		
1. Five conferences with Rumanian oil firms. Nov.-Dec. 1940.		184 - 201
2. Conference with Apollo refinery April 16, 1941 on current refining operations.		202 - 203
3. Addition of Oppanol to lubricating oil.		204 - 211

CONTENTS

FRAME NOS.

4. Correspondence and conference on a diluent (Miscellaneous) for airplane engine lubricating oil diluent to be made from Zistersdorf petroleum by thermal extraction. 312 - 343
5. Production of cold-resistant steam-cylinder oil for the German railroad. 344 - 349
6. Report on the Ferrea Bandfilter of the Essoatum Comp. in Rositz. 350 - 352
7. Patent application on a process of dewaxing in two stages. 354 - 358

IV. Specifications of gun oil (Waffen-Oel-Han).

1. Meeting on gun oil at Reichs Air Ministry July 9, 1941. 259 - 260
2. Preliminary specifications for Waffen-Oel-Han. August 16, 1941. 261 - 264

V. Zeichnungen fuer die Oppau Verschleiser Pruefapparatur.
Drawings for the Oppau test apparatus for wear and tear. 265 - 275

VI. Cracking catalyst for the Moersierwerk plant. 306 - 320

VII. Miscellaneous reports and minutes of meetings.

1. Conference on oil processes February 28, 1942. 321 - 324
2. Separation of propylene and propane mixtures. 325 - 326
3. Lecture of Dr. M. Pier at Tea meeting October 20, 1942: "Entwicklung der Methanol-Synthese und der katalytischen Hochdruckhydrierung einschliessend an die Ammoniaksynthese nach dem heutigen Stand." "The recent development of the methanol synthesis and the catalytic high pressure hydrogenation following the ammonia synthesis." 327 - 373
4. Conference on various oil processes March 17, 1942. 380 - 382

VIII. Reports on various processes - Dr. Klüber.

1. Aethylen aus Ethan durch therm. Spaltung nach Dr. Klüber.

Ethylene from ethane by thermal splitting according to Dr. Klüber.

483 - 486

2. Kalkulationsunterlagen für die Herstellung von Polybi aus Propan nach den in Op. 198/339 entwickelten Verfahren (thermische Polymerisation, Dr. Klüber).

Data for calculating the production of polymer gasoline by thermal polymerization.

486 - 492

3. Aethylen aus Ethan durch thermische Spaltung nach Dr. Klüber. (Anfahren des Grossversuchsaufbaus in Ma 924 x).

Ethylene from ethane by thermal splitting according to Dr. Klüber. (Large scale experiment).

497 - 500

4. Herstellung gasförmiger Olefine durch thermische Spaltung von n-Butangas im Schlangenrohr nach Dr. Klüber.

Production of gaseous olefines by thermal splitting of n-butane gas in a coil oven according to Dr. Klüber.

491 - 494

5. Acetylenentfernung aus Spaltgasen durch selektive Acetylenhydrierung nach dem Klüber-Verfahren. (Anfahren der Grossanlage Ma 128 a).

Removal of acetylene from cracking gases by selective hydrogenation of acetylene according to the Klüber method. (Large scale production).

492-501

6. Kalkulationsunterlagen für die Herstellung von Polybi aus n-Butan nach den in Op. 198/339 entwickelten Verfahren (thermische Polymerisation, Dr. Klüber).

Data for calculating the production of polymer gasoline from n-butane by thermal polymerization.

497 - 520

7. Acetylenentfernung aus den Spaltgas der Spaltanlage Ma 383 (Sauerstoff-Vakuum-Verfahren) durch selektive Acetylenhydrierung nach dem Klüber-Verfahren. Versuche in Ma 128 x.

Removal of acetylene from the productgas of the splitting plant Ma 383 (oxygen vacuum process) by selective hydrogenation of acetylene according to Klüber. (Large scale experiment).

498 - 508

FRANK W.C.

1) Spaltung von Ethylen mittels Kupferlauge-Scheibe
nach dem Hünker-Verfahren. Ergebnisse der im "Schlangen-
rohr" durchgeföhrten Versuchsanordnung des Leitkörpers.

(1) Spaltung von Ethylen nach dem Hünker-Verfahren.
(April - Mai 1930)

1) Spaltung von Ethylen in the hydrogenated electric
cell by treatment with cuprous solution.
Results of the experiment.

437 - 440

1) Spaltung von Ethylen mittels Kupferlauge-Scheibe durch thermische
Spaltung nach dem Hünker-Verfahren. Ergebnisse der im "Schlangen-
rohr" durchgeföhrten Versuchsanordnung des Leitkörpers.

(1) Spaltung von Ethylen durch thermische

Spaltung nach dem Hünker-Verfahren. Results of experiments
with cuprous solution in Dr. Hünker's cell.

441 - 440

1) Spaltung von Ethylen durch Kupferlauge-Scheibe nach
dem Hünker-Verfahren mit verschiedenem Gas- und
Flüssigkeitsstrom durch das Rohr.

1) Spaltung von Ethylen by gas scrubbing with cuprous
solution according to Hünker. Experiments with
different flow rates and scrubbing fluid on

the Hünker's plant.

451 - 456

1) Spaltung von Ethylen nach dem Hünker-Verfahren.

1) Spaltung von Ethylen durch thermische Spaltung nach
dem Hünker-Verfahren Nr. 234 a. - Abtrennung
des abgespaltenen Methans durch Kupferlauge-
Scheibe. Ergebnisse der Nr. 234 b.

1) Spaltung von Ethylen by thermal splitting
according to Hünker. Large scale experiment.

1) Separation of separated ethylene by scrubbing
with cuprous solution. Experiments.

457 - 460

1) Vervollständigung nach dem Spalt- und Waschverfahren
des Hünker-Verfahrens aus Ethan hergestellten
Ethylens und Isobutylens von 53 - 61.

1) Preparation of the styrene made from ethane by
method of splitting and scrubbing for
commercial grade.

461 - 466

1) Verschiedene Sitzungen und Konferenzen discussing the
construction of the proposed Hünker styrene plant for
commercial production at Lumm.

466 - 479

X. Papers and reports.

1. Schemes for calculating combustion gas equilibria. 460 - 477
2. Die Genauigkeit der Luftüberschusszahl der Überladekurven in Abhängigkeit von den Bestimmungsfehlern.
The accuracy of the air excess number of the supercharge curves as a function of the errors of measurement. 488 - 492
3. Einige Wünsche der Kraftstoffhersteller an den Flugmotor.
Some wishes of producers of motor fuels concerning the aero engine. 493 - 510
4. Vortrag von Prof. Jost - Leipzig in Karlsruhe am 9.5.40. Der Verbrennungsvergang im Motor.
Lecture by Prof. Jost - Leipzig in Karlsruhe 9 May 1940. Combustion process in the motor. 511 - 513
5. Reaktionsversuch. (Bericht von Herrn Dipl. Ing. Grader). Hydr. Nr 570.
Determination of recoil forces caused by the discharge of gases or liquids from broken high pressure lines. 514 - 514
6. Ammoniak- und Methanol-Gleichgewicht.
Ammonia- and methanol equilibrium. 5150 - 5160
7. Berücksichtigung der Zustandsgewinnung beim Methanolgleichgewicht.
Consideration of equation of state in the methanol equilibrium. 517 - 530
8. Verbindungen aus gekracktem Erdöl.
Compounds from cracked petroleum. 539 - 543
9. Verbindungen in den leichten Fraktionen des Steinkohlenteeres.
Compounds in light fractions of coal tar. 554 - 558
10. Gleichgewichte der Kohlenoxydierung.
Equilibrium of coal dehydrogenation. 557 - 559

- II. Die Zustandsgleichungen realer Gase und deren Anwendung auf Berechnung kalorischer Daten z.B.
des Joule-Thomson-Effektes von Wasserstoff.
Equation of state of real gases and their use
for calculation of caloric data such as the
Joule-Thomson-effect on hydrogen. 560 - 570
18. Dehydratisierende Polymerisation von Alkoholen
aus Alcohol und Olefin.
Dehydrating polymerization of alcohols or
alcohol and olefin. 571 - 578
19. Acrylamid.
Acrylic oxide. 579 - 589
- III. Coal petrography and hydrogenation.
1. Erforschung hydrierfähiger Kohlen (Dr. Erich Stach).
Suitability of coal for hydrogenation. 580 - 583
 2. Stellungnahme zum Schriftwechsel Drs. Dr. E. Stach.
Remarks to the paper of Drs. Dr. E. Stach. 584 - 585
 3. Hydrierverfahren mit Kohlen verschiedener petro-
graphischer Zusammensetzung im Drehautoklaven.
Hydrogenation tests with coal of various
petrographic compositions in the rotating
autoclave. 586 - 592
 4. Untersuchung, Trennung und Hydrierung der Kohle-
stoffgebstandteile (Lit.-Angabe) mit Nachtrag.
Investigation, separation and hydrogenation of the
structural components of coal (Lit. review) with
supplement. 593 - 606
 5. Über das Verhalten der Gefügebestandteile von
Steinkohle bei der Extraktion, Hydrierung, Verko-
lung, Verschmelzung und Oxydation.
The behaviour of the structural components
of bituminous coal in extraction, hydrogen-
ation, coking, low temperature carbonization
and oxidation. 606 - 613
 6. Protokoll über den Besuch Prof. Stach am 29.9.41
mit zusammenfassendem Bericht über die Besprechung.
Protocol on the visit by Prof. Stach at
Ludwigshafen on 29 September 1941 and summary
of the conference. 614 - 619

- III. Reports and papers on various hydrogenation topics
 from files of Dr. H. Bergius (Industriegesellschaft).
 Note: Other material from this collection will also
 be found in Box No. LX-27, frames 1 - 373
 and 400 - 500.

High-pressure ovens:

1. Versuche von Bergius in liegenden Ofen.
 Experiments by Bergius in horizontal ovens. 620 - 624
2. Erwärmen in der Schlinge.
 Hydrogenation in coil oven. 627 - 628
3. Bau von Spülrohrverheizern mit horizontalem Rohr.
 Construction of preheaters with horizontal pipes. 629 - 634
4. Gasverteilung mittels Glasfritt.
 Gas dispersion by fritted glass. 635 - 636
5. Liegender Ofen.
 Horizontal ovens. 637 - 648
6. Versuche in liegenden Ofen und Reaktionsschläuchen.
 Experiments in horizontal and coil ovens. 649 - 652
7. Über Erfahrungen mit Schemaplatten.
 On experiences with porous foam plates. 653 - 656
8. Über den Einfluss von Dichteveränderungen
 strömender Medien mit horizontaler Bewegungs-
 komponente auf den Verlauf der Strömung.
 On the effect of varying density of flow-
 ing media with horizontal movement com-
 ponents on the course of the flow. 657 - 657a

Theoreticals:

9. Zeichnungen und Zahlenmaterial über Gener-
 ation von Gas und Brei; Zersetzung des Breis
 in zwei Ströme mit verschiedener und mit
 gleicher Konzentration.
 Drawings and figures on generation of gas
 and paste, and decomposition of paste in
 two streams with equal and different
 concentrations. 658

10. Kurvendarstellung von Zusammenhang zwischen Viskositätsindex und Wasserstoffgehalt von Schmierölen.
Curve on correlation of viscosity index with hydrogen content of lubrication oils. 659
11. Viskositätsindex, Viskositäts Höhe und Viskositätssteilheit.
Viscosity index, viscosity peak and viscosity slope. 660 - 672
12. Über das Gleichgewicht $\text{Na}_2\text{O}_3 - \text{Na}_2\text{S} - \text{HCl}$.
On the $\text{Na}_2\text{O}_3 - \text{Na}_2\text{S} - \text{HCl}$ equilibrium. 673 - 680
13. Über eine Wärmezpumpe mit gutem technischen Nutzeffekt.
On a technically efficient heat pump. 681 - 684
14. Gleichgewichtsberechnungen für Arsen-Verbindungen Folgerungen für die Hydrierung in Bruck.
Equilibrium calculations for arsenic compounds, and conclusions for the hydrogenation at Bruck. 685 - 687
15. Das Auftreten einer wässrigen Phase in der Kohle-Sumpfphase.
The occurrence of an aqueous phase in coal sump phase. 688 - 699

Experimental:

16. Messung der Zähigkeit von Anreiböl, Rutschlampe und Kohlebrei der Hydrieranlagen Scholven und Leuna.
Measuring the viscosity of pasting oil, sludge and coal paste from Scholven and Leuna hydrogenation works. 690 - 697
17. Sparsalzen.
Wall-saving cleaning compounds. 698

Analytical:

18. Eine exakte, potentiometrische Schnellbestimmung des basischen Stickstoffes in Mittelölen.
An exact rapid potentiometric determination of basic nitrogen in middle oils. 699 - 721

19. Methode zur Bestimmung der leicht oxydierbaren Anteile (mehrwertigen Phenole) in Teeren und dergl. durch Sauerstoffabsorption in alkalischen Medium.
Method for determining the easily oxidizable portions (polyvalent phenols) in tar and similar products by oxygen absorption in alkaline media. 712 - 715

Unpublished articles:

20. Über den Vortrag von Doz. Dr. Kaudorff, Wien, in Darmstadt am 14.7.1943. (Schwefelsäure-Fluor- und Eisenchloridverbindungen des Graphits).
On a lecture by Doz. Dr. Kaudorff of Vienna, given July 14, 1943 at Darmstadt. (Sulfuric acid, fluorine and ferric chloride compounds of graphite). 716 - 718

21. Referat über die Arbeitstagung des Fachausschusses für Staubaerstechnik (22.10.1943). R. Fricke, Stuttgart: Über die Eigenschaften feiner Verteilungen.
Report on the technical meeting of the committee on dust techniques (Oct. 22, 1943). R. Fricke, Stuttgart: On the properties of fine dispersions. 719 - 723

22. Zum Vortrag Dr. Hopff: Neuere Erkenntnisse auf dem Gebiet der Al Cl₃ - Synthese.
New findings in the field of Al Cl₃ synthesis. 724 - 727

23. Kristallchemische Betrachtungen.
Problems of crystal chemistry. 728 - 737

24. Freie Radikale.
Free radicals. 738 - 741

"Caviar" formation in coal hydrogenation:

25. Die Bildung von Kaviar im Kohlenofen.
The formation of "Caviar" in coal hydrogenation ovens. 742 - 743

26. Betr. Kaviarbildung.
Concerning "Caviar" formation. 744

27. Über die Theorie der Kaviar-Bildung.
On the theory of the formation of "Caviar". 745 - 747

- 12 -

Coal Hydrogenation:

28. Beziehungen zwischen Kohlenanalysen und Hydrierverhalten.
The relationship between coal analyses and hydrogenation behavior. 750 - 753

29. Kohlenanalysen und Hydrierverhalten.
Coal analyses and hydrogenation behavior. 754 - 756

30. Die extraktivende Hydrierung von Steinkohle.
The extractive hydrogenation of bituminous coal. 757 - 760

31. Kontaktversuche, insbesondere Einfluss des Sulfigransatzes bei der Hydrierung von oberölschieferischer Steinkohle in Drehautokläven.
Catalytic experiments, particularly on the influence of the addition of "Sulfigran" in the hydrogenation of Upper-Silesian bituminous coal in rotary autoclaves. 761 - 769

32. Eignung von Natriumsulfidproben von Dr. Kunzer als Suspensionskontakt.
The suitability of sodium sulphide samples from Dr. Kunzer as liquid phase catalysts. 770 - 772

33. Hydrierversuche im Drehautoklaven mit Ammoniumborfluorid als Kontakt bei Steinkohle.
Hydrogenation experiments with ammonium boron fluoride catalyst for bituminous coal in a rotary autoclave. 773 - 775

34. Versatz von Ammonchlorid bei Scholven-Kohle.
(Versuche in Drehautoklaven bei 350 atm Druck).
Substitutes for ammonium chloride in Scholven coal. Experiments in rotary autoclaves at 350 atmospheres. 776 - 779

35. Altere Hydrierversuche mit chlorierten und oxydierten Steinkohlen in Autokläven.
Early hydrogenation experiments with chlorinated and oxidized bituminous coals in autoclaves. 780 - 783

36. Ersatzmöglichkeit von Ammonchlorid bei der Hydrierung von Ruhrkohle.
Possibility of substitutes for ammonium chloride in the hydrogenation of Ruhr coal. 784 - 786

- 13 -

37. Hydrierversuche mit einem zinnhaltigen Fliegenstab der Rattenwerke Kaiser A.G., Berlin im Drehkohleklaven.
Hydrogenation experiments in rotary autoclaves with a tin-bearing fly cast obtained from Kaiser A.G., Berlin. 889 - 890
38. Über die Verarbeitung von Schlesener Kohle (Zweckel-Kohle) mit Eisenkontakten und Chlor.
Hydrogenation Schlesener coal (Zweckel coal) with iron catalysts and chlorine. 891 - 892
39. Versuche mit obereschlesischer Kohle im 10 Liter-Ofen mit Eisen-Titan-Kontakten.
Experiments with Upper-Silesian coal in a 10-liter oven with iron-titanium catalysts. 894 - 895
- Zur Hydrogenation:
40. Zur Verarbeitung von Steinkohlenteeren auf Heizöl.
Concerning the hydrogenation of bituminous coal tar to fuel oil. 897 - 901
41. Versuchs mit Steinkohlenteeren im 10 Ltr.-Ofen.
Experiments with coal tars in the 10 liter oven. 902 - 903
42. Zur Verarbeitung einer Steinkohlenteermischung mit molybdänfreien Kontaktaten.
Hydrogenation of a coal tar mixture with molybdenum-free catalysts. 904 - 906
43. Sumpfphase-Kontakte für die Teerverarbeitung.
Versuche in 10 ltr.-Öfen.
Liquid phase catalysts for tar hydrogenation. Experiments in 10 ltr. ovens. 907 - 909
44. Zur Verarbeitung von Pech.
Hydrogenation of pitch. 910 - 911
45. Vorläufiger Bericht über Hydrierversuche mit B.T. Teer aus Ochsen Rüssakohle.
Preliminary report about hydrogenation experiments with brown coal tar from "Ochsen" nut coal. 913 - 916
46. Vorläufiger Bericht über Hydrierversuche mit Burgi-Low-Tar aus Ochsen-Rüssakohle.
Preliminary report about hydrogenation experiments with Burgi low temperature tar from "Ochsen" nut coal. 917 - 921

EXPERIMENTAL

923 - 926

47. Vergleichende Hydrierung nach Heizölfahrweise
mit verschiedenen Schmelzteeren aus Oheim-
Kunststoff.

Comparative hydrogenation to fuel oil of
various low temperature tars from "Oheim"
nut coal.

48. Versuche im 1 Ltr.-Ofen mit Schwefel als
Sumpfphasenkatalyt.

Experiments in the 1 liter oven with
sulphur as liquid phase catalyst.

927 - 931

49. Verarbeitung von Böhlerer Teer bei 200 atm.
im 10 Ltr.-Ofen.

Hydrogenation of Bohler Tar at 200 atm.
in the 10 liter oven.

932 - 947

50. Hydrierversuche mit Bräker Teer (P 1397
original) im Drehautoklaven.

Hydrogenation experiments with Bräk Tar
(P 1397 original) in the rotary auto-
clave.

948 - 953

GENERAL SUBJECT PAGE

- I. ALKYLATION, SINTERING AND MISCELLANEOUS FROM FILES OF DR. SENON.
- II. HYDROGEN PAPER FROM MICHAEL PROSSER AND COAL HYDROGENATION.
- III. CORRESPONDENCE AND MEETINGS OF LEIPZIG PERSONNEL WITH APOLLO INDUSTRIES AND SOME RUSSIAN FIRMS.
- IV. SPECIFICATIONS OF GAS OIL (WAPPEN-OEL-BLAU).
- V. DRAWINGS FOR THE UPPAAN TEST APPARATUS FOR WEAR AND TEAR.
- VI. CRACKING CATALYST FOR THE MONTEBELLO PLANT.
- VII. MISCELLANEOUS REPORTS AND MINUTES OF MEETINGS.
- VIII. REPORTS ON VARIOUS PROCESSES - DR. HAUSER.
- IX. HS-OIL FROM ETHYLENE MADE BY THE HAUSER PROCESS.
- X. PAPERS AND REPORTS: COMBUSTION IN MOTORS; VARIOUS CHEMICAL EQUILIBRIA; RING OF REINER PRESSURE PIPES; ALCOHOL POLYMERIZATION; ETHYLENE GLIDE.
- XI. COAL PYROLYSIS AND HYDROGENATION.
- XII. REPORTS AND PAPERS ON VARIOUS HYDROGENATION TOPICS FROM FILES OF DR. FISCHER (LUDWIGSHAFEN).

FILED NO.

Sources of Documents: Griseheim Central I.G. Library

Folder Nos. I
(I) SI/I-E2 (II) SI/I-DS (III) 89/I-B17
(IV) 89/I-C1 (V) 89/I-B3 (VI) 89/I-36
(VII) 811/III-C80 (VIII) 826/III-E10
(IX) 826/III-D6 (X) 831/X-A8
(XI) 831/IX-A9
(XII) Item 1-24, SI/III-01
25-27, SI/III-C8
28-30, SI/III-C6
30, SI/III-C7
31-48, SI/III-01
49-50, SI/III-D2

Filmed by:

JICA

Date:

END OF ROLL

REEL NO.

IF1116

LF1116